

بهبود کنتراست

ترانه فندی

اطلاعات گزارش	چکیده
تاریخ: 13980816	
واژگان کلیدی: بهبود کنتراست هیستوگرام تصویر رنگی همسان سازی هیستوگرام همسان سازی محلی هیستوگرام همسان سازی پویای هیستوگرام بهبود کنتراست به شیوه ی فازی	در بین روشهای بهبود کیفیت تصاویر، می توان به بهبود کنتراست تصویر اشاره کرد. کنتراست به معنی تمایز بین سطوح روشنایی و یا رنگهاست که باعث بهتر تشخیص دادن جزییاتی از تصویر خواهد شد. بهبود کنتراست به عنوان پیش پردازشی پر کاربرد، در بسیاری از پردازش ها پیش از پردازش اصلی به کار می رود.

1-مقدمه

بهبود کنتراست، از پیش پردازش های مهمی به شمار می رود که کاربرد فراوانی دارد. بهبود کنتراست به ویژه در تصاویر پزشکی به دلیل نمایان کردن جزییات تصویر که پیش از این پردازش قابل رویت نبوده اند، حائز اهمیت است. همچنین بهبود کنتراست در تصاویر غیر پزشکی، از نظر بصری تصویر را بهبود می بخشد.

همسان سازی هیستوگرام تصویر، از روشهای معروف بهبود کنتراست می باشد که برخی از الگوریتم های ارائه شده در این گزارش برپایه ی این شیوه هستند. از دیگر روشهای بهبود کنتراست می توان به روش فازی نیز اشاره کرد. در این گزارش به شرح و توضیح بهبود کنتراست تصاویر پزشکی تهیه شده از شبکه با چندین الگوریتم می پردازیم.

2-شرح تکنیکال

• هیستوگرام

هیستوگرام یک تصویر، تابعی گسسته است که اطلاعات تصویر دو بعدی را به برداری یک بعدی تبدیل می کند و به صورت زیر تعریف می شود:

$$h_r(k)=n_k$$

که در آن k نشان دهنده ی سطح خاکستری، r_k نشان دهنده ی k امین سطح خاکستری و n_k تعداد پیکسل های تصویر است که دارای سطح خاکستری r_k هستند. در هیستوگرام تصویر، اطلاعات مکانی از بین می رود و برگشت پذیر نیست؛ اما هیستوگرام تصویر اطلاعات ارزشمندی در مورد تصویر در اختیار می گذارد. هیستوگرامی مطلوب است که یکنواخت باشد و دارای واریانس بالایی داشته باشد؛ به این معنی

2.1-الگوریتم‌ها

• همسان سازی هیستوگرام

همسان سازی هیستوگرام روشی است که در آن هیستوگرام تصویر اصلی گسترده می‌شود. در نتیجه ی این گستردگی، هیستوگرام یکنواخت تر خواهد شد و تعداد سطوح خاکستری موجود در تصویر بیشتر خواهد بود.

$$s = T(r), 0 \leq r \leq 1$$

که در آن s و r مقادیر نرمالیزه شده ی شدت روشنایی پیکسل ها هستند.

○ شروط تبدیل

- $T(r)$ در بازه ی $0 \leq r \leq 1$

صعودی باشد.

- برای $0 \leq r \leq 1$ باید

$0 \leq T(r) \leq 1$ باشد.

در این روش پس از محاسبه ی هیستوگرام نرمالیزه شده، CDF (Cumulative Distribution function) محاسبه می‌شود. اگر احتمال وقوع یک سطح خاکستری را p در نظر بگیریم، CDF به صورت زیر محاسبه می‌شود:

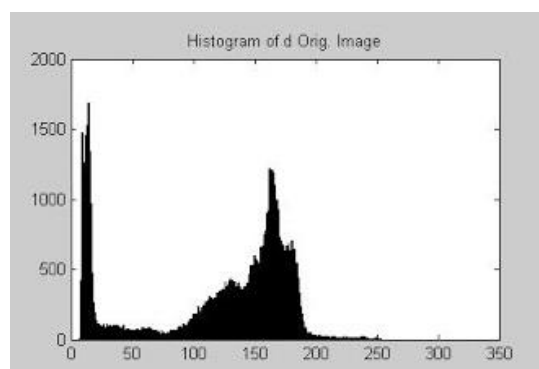
$$CDF(i) = \sum_{j=0}^i p(j)$$

پس از محاسبه ی CDF برای هیستوگرام نرمالیزه شده، برای هر سطح خاکستری، تعداد پیکسل ها را در مقدار متناظر آن سطح در CDF ضرب می‌کنیم. جزء صحیح مقدار به دست آمده، مقدار جدید در هیستوگرام همسان سازی شده است. در نهایت به یک Lookup table خواهیم رسید که مقادیر سطوح خاکستری را پس از همسان سازی شدن مشخص می‌کند.

که سطوح خاکستری موجود در تصویر زیاد باشند. تصویر CameraMan در ادامه به عنوان مثال آورده شده است.



تصویر 1- تصویر CameraMan



تصویر 2- هیستوگرام مربوط به تصویر CameraMan

• هیستوگرام نرمالیزه شده

هیستوگرام نرمالیزه شده، با تقسیم هر مقدار هیستوگرام بر تعداد کل پیکسل های تصویر (n) به دست می‌آید:

$$Pr(k) = n_k/n$$

هیستوگرام نرمالیزه شده از آنجا که احتمال وقوع هر سطح خاکستری را در یک تصویر بیان می‌کند، اطلاعات آماری مفیدی را در اختیار می‌گذارد.

اکنون به بررسی روشهای بهبود کنتراست که پیاده سازی کرده ایم، می‌پردازیم.

هیستوگرام بر روی این قطعات صورت می‌گیرد.

از طرفی این روش بار محاسباتی بالاتری خواهد داشت و گاه برخی نواحی از تصویر را بیش از حد تغییر می‌دهد. همچنین نویز موجود در تصویر نیز همراه با تصویر شدید تر می‌شود. مشکل دیگر این روش ایجاد افکت بلاکی است که موجب کاهش کیفیت تصویر از نظر بصری می‌شود.

• همسان سازی پویای هیستوگرام

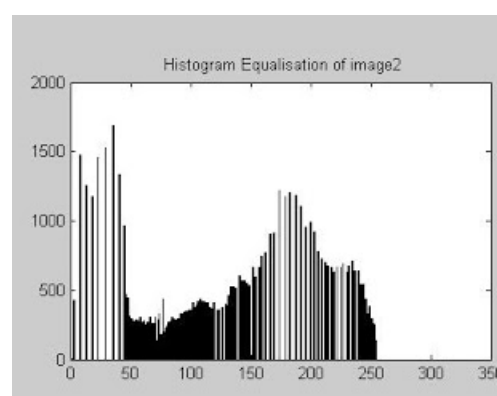
در روش های پیشین، این امکان وجود دارد که بخشهایی از هیستوگرام که مقادیر بزرگتری دارند روی نواحی دیگر تصویر تاثیر بگذارند.

روش دیگر برای بهبود کنتراست، استفاده از همسان سازی پویای هیستوگرام است که در آن هیستوگرام تصویر اصلی به بخشهایی تقسیم می‌شود، به گونه ای که در هیچ زیر-هیستوگرامی، مقدار غالبی وجود نداشته باشد. سپس برای هر زیر-هیستوگرام، تابع تبدیل با توجه به همسان سازی استاندارد که پیش تر شرح داده شد تولید می‌شود.

زیرهیستوگرام ها با توجه به local minima های هیستوگرام تصویر اصلی تعیین می‌شوند. ابتدا یک فیلتر smoothing روی هیستوگرام اعمال می‌شود تا minima های ناچیز حذف شوند. سپس بخشهای بین دو minima به عنوان یک زیر-هیستوگرام جدا می‌شوند. به عبارتی، اگر m_0, m_1, \dots, m_n ، $(n+1)$ سطح خاکستری باشند، اولین زیر-



تصویر 3- تصویر CameraMan پس از همسان سازی هیستوگرام



تصویر 4-هیستوگرام همسان سازی شده ی تصویر CameraMan

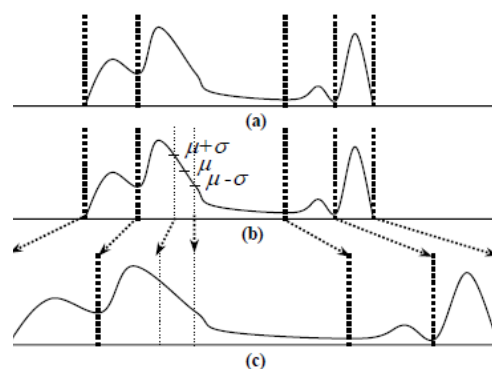
• همسان سازی محلی هیستوگرام

همسان سازی هیستوگرام که پیش تر شرح داده شد برای بهبود کلی تصویر مناسب است؛ اما ویژگی های مربوط به روشنایی محلی تصویر را در نظر نمی‌گیرد. اگر برخی نواحی در تصویر دارای روشنایی بالایی باشند، در بقیه ی نواحی تاثیر گذاشته و بر آنها غالب خواهند شد.

روشی دیگر برای همسان سازی هیستوگرام، همسان سازی محلی است که این مشکل را برطرف می‌کند.

در این روش پنجره ای با ابعاد مشخص شده در نظر گرفته می‌شود و تصویر به قطعاتی به ابعاد این پنجره تقسیم شده، همسان سازی

هیستوگرام بین m_0 و m_1 قرار می‌گیرد. این روش تا حدودی باعث می‌شود بخشهایی که در واقع peak هیستوگرام تصویر اصلی می‌باشند، روی باقی نواحی تاثیر بگذارند. اما حتی این عمل تضمین نمی‌کند که برخی بخشها بر دیگر نواحی غالب نشوند. برای اینکه از این موضوع اطمینان حاصل کنیم، μ (mean) و standard deviation (σ) را برای هر زیر-هیستوگرام محاسبه می‌کنیم. اگر در یک زیر-هیستوگرام تعداد سطوح خاکستری که مقداری بین $(\mu - \sigma)$ تا $(\mu + \sigma)$ داشته باشند از 63.5 درصد تعداد کل مقادیر زیر-هیستوگرام شود، آن زیر-هیستوگرام توزیعی نرمال دارد و بخش غالبی در آن وجود ندارد. در غیر این صورت، آن زیر-هیستوگرام به سه بخش دیگر در مکانهایی که سطح خاکستری آنها $(\mu - \sigma)$ و $(\mu + \sigma)$ باشند، تقسیم می‌شود و بخشهای اول و سوم دوباره بررسی خواهند شد. اما بخش میانی قطعاً نرمال است [1].



تصویر 5- (a) تقسیم هیستوگرام اصلی به زیر-هیستوگرام (b) تقسیم دوباره ی یک زیر-هیستوگرام به دلیل نرمال نبودن توزیع (c) تخصیص سطوح خاکستری به زیر-هیستوگرام ها

• بهبود کنتراست تصویر به روش فازی

این روش از عملیات نقطه ای استفاده می‌کند. در این الگوریتم:

○ تصویر به صورت لگاریتمی

بازنمایی می‌شود و مقادیر تصویر

اجزائی از فضای دیگر (اقلیدسی)

هستند و نه حقیقی.

○ تصویر توسط قطعه های فازی

پردازش می‌شود.

متدهای ساده اما قدرتمندی برای بهبود کیفیت تصویر توسط تبدیلات affine در قالب مدل لگاریتمی قابل استفاده هستند. در صورتی که قطعه های مورد پردازش در تصویر از نظر آماری یکنواخت باشند، نتایج بهتری به دست خواهد آمد.

در روشهایی همچون همسان سازی محلی، با افکت بلاکی (block-effect) روبرو خواهیم شد. الگوریتم فازی به جای قطعه های معمولی در که همسان سازی محلی مورد استفاده بودند، از قطعات فازی (fuzzy window) استفاده می‌کند.

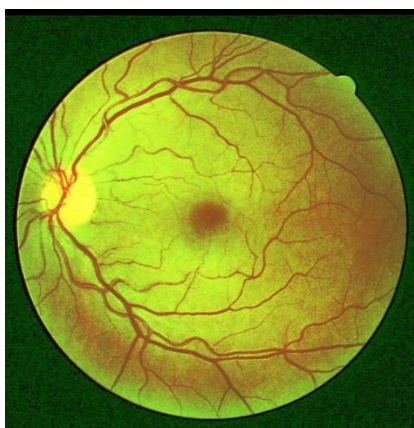
در هر یک از پنجره های فازی، یک تبدیل affine (در فضای لگاریتمی) با استفاده از میانه ی فازی و واریانس فازی که برای هر یک از پیکسل های پنجره محاسبه می‌شود، تعریف می‌شود.

تصویر نهایی از مجموع وزن دار هر پنجره ی فازی به دست می‌آید. وزنه‌های مورد استفاده همان درجه ی عضویت هستند که در منطق فازی تعریف می‌شوند و قطعات فازی را تعریف می‌کنند.

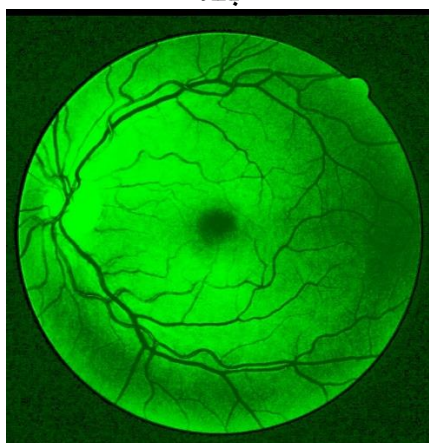
• الگوریتم انتخابی

الگوریتم انتخاب شده از بین الگوریتم هایی

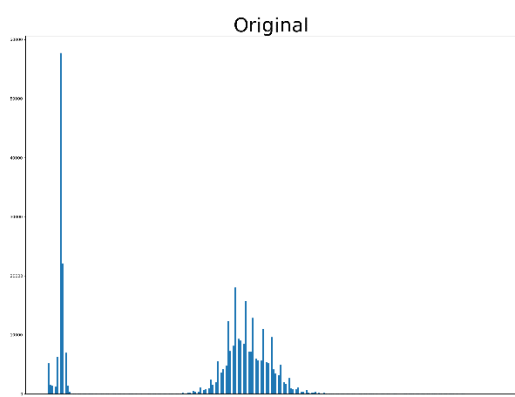
که شرح داده شد، الگوریتم فازی است، زیرا



تصویر 7- تصویر eye1 پس از همسان سازی هیستوگرام-سه بانده



تصویر 8- تصویر eye1 پس از همسان سازی هیستوگرام-تک بانده



تصویر 9- هیستوگرام اصلی مربوط به eye1

از اطلاعات آماری تصویر برای بهبود تصویر استفاده می‌کند که باعث می‌شود مشکلات روشهای دیگر، از جمله تشدید بیش از حد، افکت بلاکی، و تاثیر گذاشتن مقادیر بزرگ هیستوگرام بر روی باقی نواحی و به وجود آمدن اثر شسته شده (washed-out effect) رخ ندهد.

3-شرح نتایج

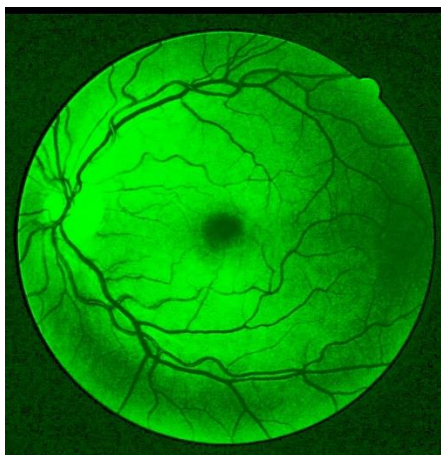
الگوریتم های شرح داده شده بر روی تصاویر eye1 تا eye8 اجرا شده اند.پردازش هم برروی تصویر اصلی (سه بانده) و هم برروی باند سبز تصویر صورت گرفته است زیرا در آن بیشترین کنتراست بین زمینه و عروق و ضایعات وجود دارد.

• نتایج حاصل از همسان سازی هیستوگرام

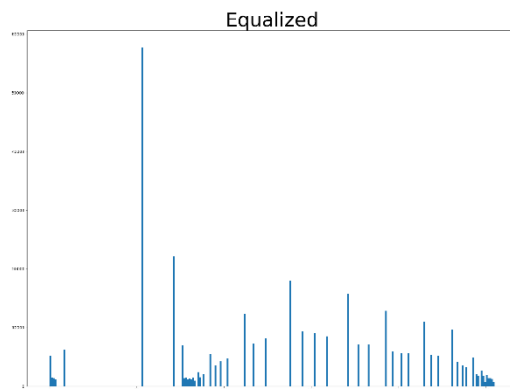
نتایج حاصل از این الگوریتم، ظاهرا فاقد باند آبی می‌باشند؛ درحالیکه این پدیده بر اثر بارزتر شدن باند سبز رخ داده است.همانطور که پیشتر اشاره شد، یکی از مشکلات روش همسان سازی هیستوگرام، تشدید بیش از حد برخی ویژگیهاست. این پدیده در مورد عکس eye3 و eye4 کمتر رخ داده است.



تصویر eye1-6



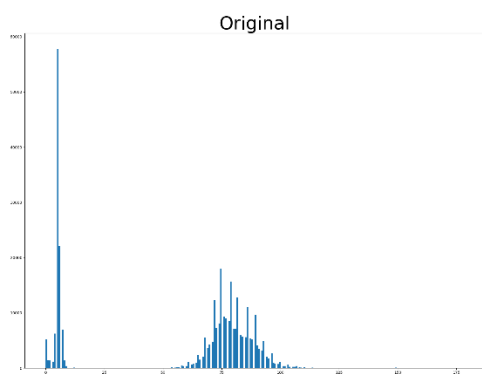
تصویر 13-تصویر eye2 پس از همسان سازی هیستوگرام-تک بانده



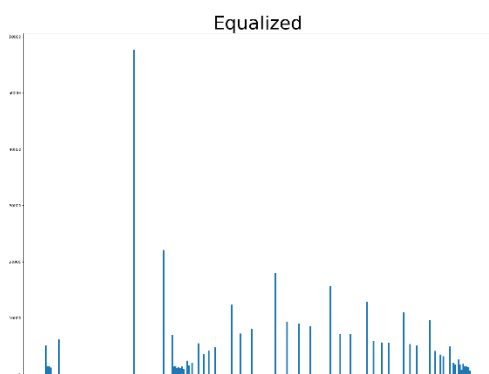
تصویر 10-هیستوگرام همسان سازی شده برای eye1



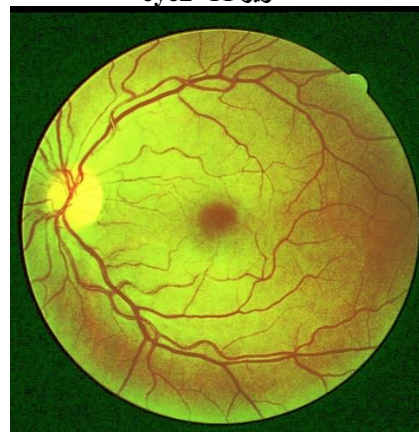
تصویر 11- eye2



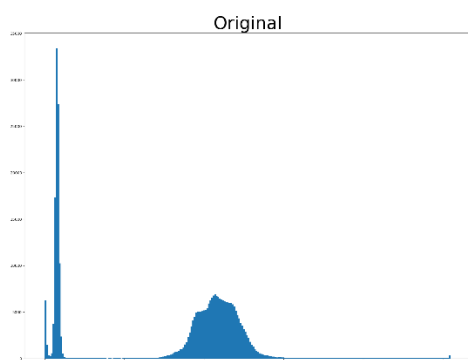
تصویر 14-هیستوگرام اصلی eye2



تصویر 15-هیستوگرام همسان سازی شده eye2



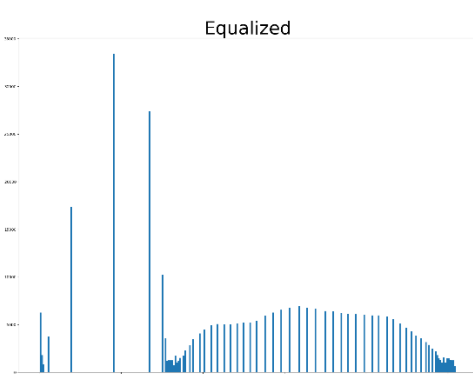
تصویر 12-تصویر eye2 پس از همسان سازی هیستوگرام-سه بانده



تصویر 19-هیستوگرام اصلی eye3



تصویر eye3-16



تصویر 20-هیستوگرام همسان سازی شده eye3



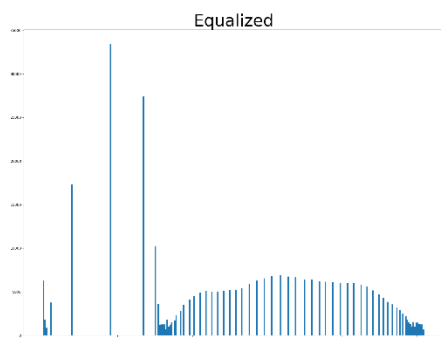
تصویر 17-تصویر eye3 پس از همسان سازی هیستوگرام-سه بانده



تصویر eye4-21



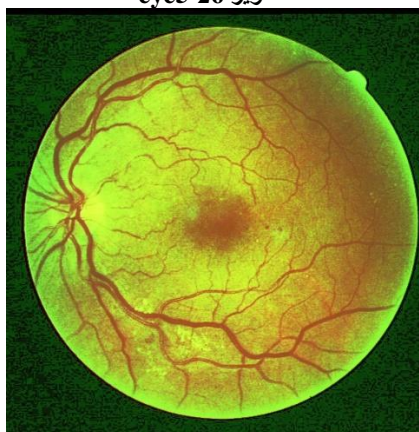
تصویر 18-تصویر eye3 پس از همسان سازی هیستوگرام-تک بانده



تصویر 25-هیستوگرام همسان سازی شده eye4



تصویر 26-eye5



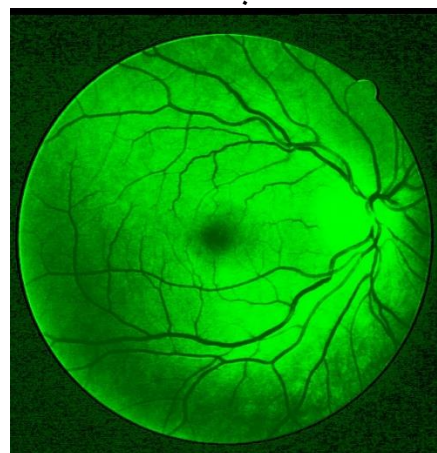
تصویر 27-تصویر eye5 پس از همسان سازی هیستوگرام-سه بانده



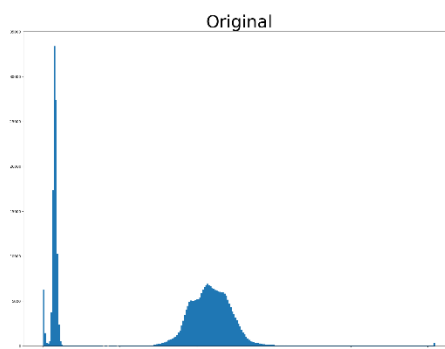
تصویر 28-تصویر eye5 پس از همسان سازی هیستوگرام-تک بانده



تصویر 22-تصویر eye4 پس از همسان سازی هیستوگرام-سه بانده



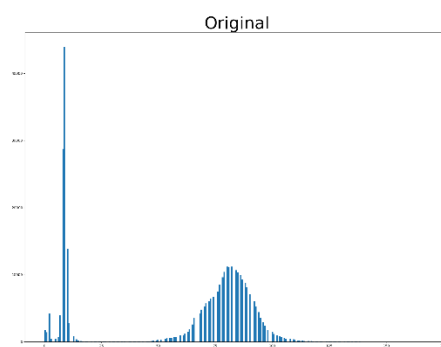
تصویر 23- تصویر eye4 پس از همسان سازی هیستوگرام-تک بانده



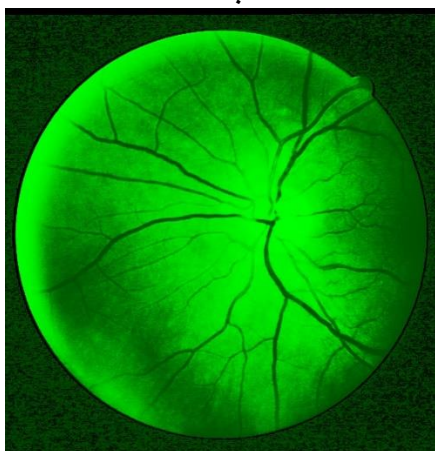
تصویر 24-هیستوگرام اصلی eye4



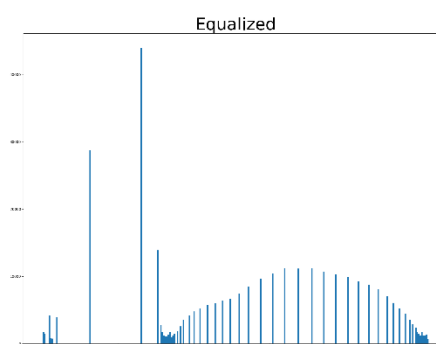
تصویر 32-تصویر eye6 پس از همسان سازی هیستوگرام-سه بانده



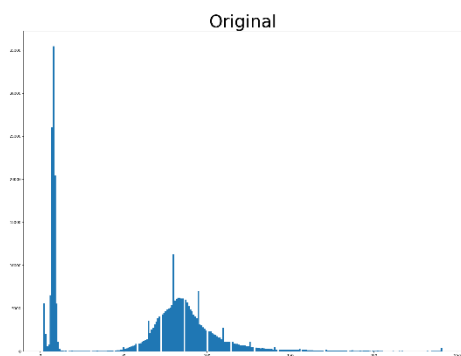
تصویر 29-هیستوگرام اصلی تصویر eye5



تصویر 33-تصویر eye6 پس از همسان سازی هیستوگرام-تک بانده



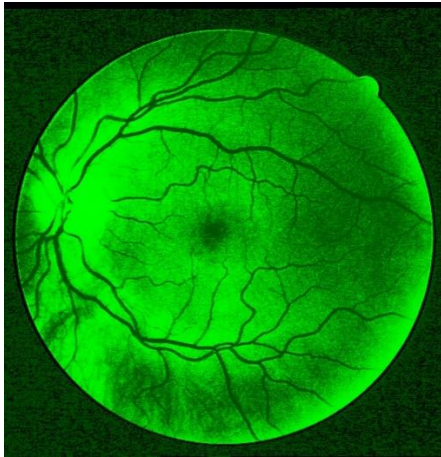
تصویر 30-هیستوگرام همسان سازی شده eye5



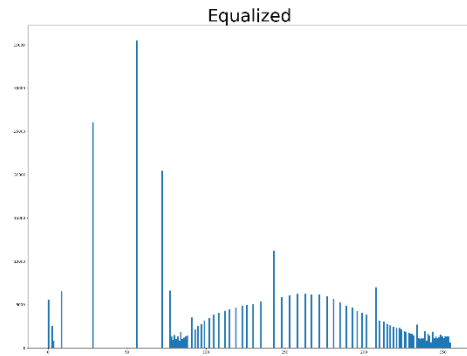
تصویر 34-هیستوگرام اصلی eye6



تصویر 31-eye6



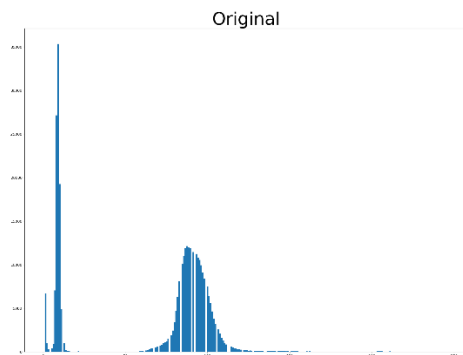
تصویر 38-تصویر eye7 پس از همسان سازی هیستوگرام-تک بانده



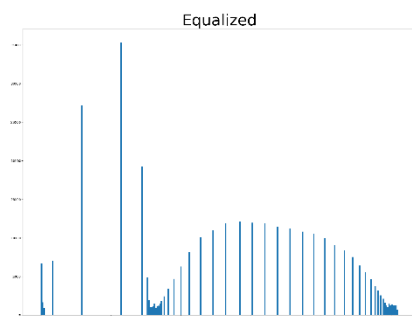
تصویر 35-هیستوگرام همسان سازی شده eye6



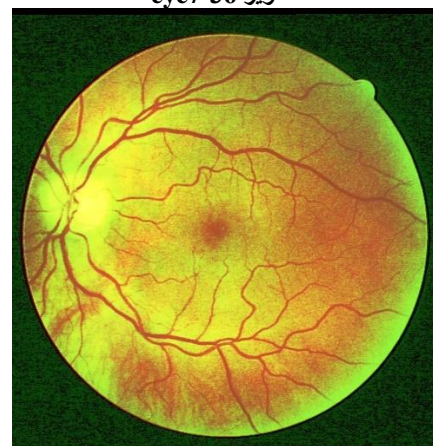
تصویر 36-eye7



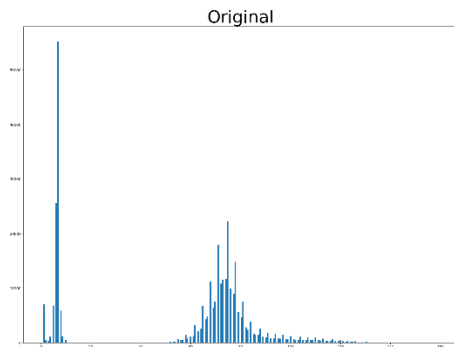
تصویر 39-هیستوگرام اصلی eye7



تصویر 40-هیستوگرام همسان سازی شده eye7



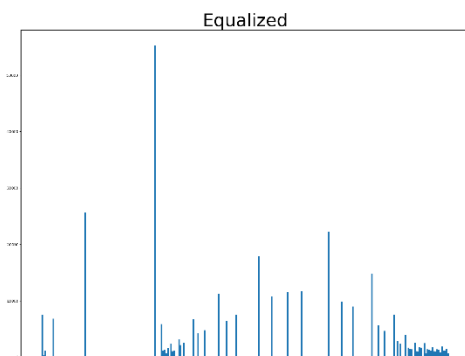
تصویر 37-تصویر eye7 پس از همسان سازی هیستوگرام-سه بانده



تصویر 44-هیستوگرام اصلی eye8



تصویر eye8-41



تصویر 45-هیستوگرام همسان سازی شده eye8

• همسان سازی محلی هیستوگرام

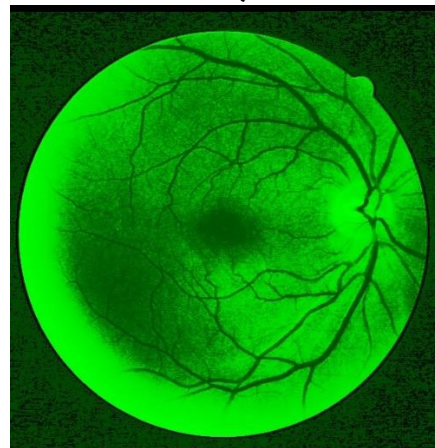
در این روش نیز افکت بلاکی، از کیفیت تصویر از نظر بصری می‌کاهد؛ اما ویژگیهای محلی تصویر را حفظ می‌کند.



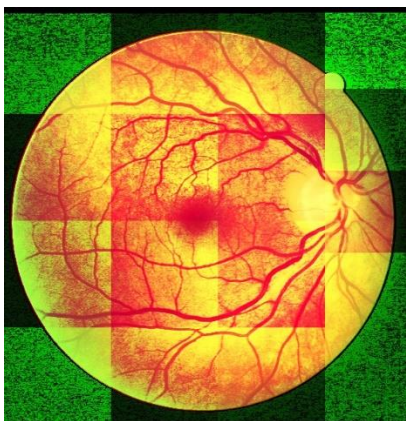
تصویر 46-تصویر eye1 پس از همسان سازی محلی هیستوگرام-سه بانده



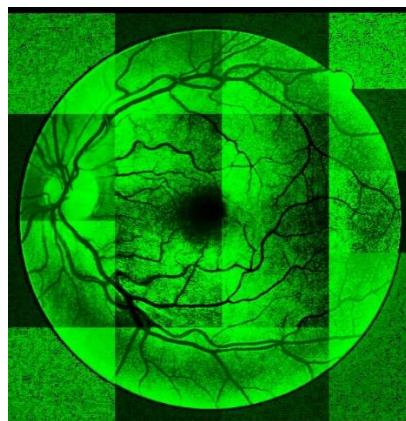
تصویر 42-تصویر eye8 پس از همسان سازی هیستوگرام-سه بانده



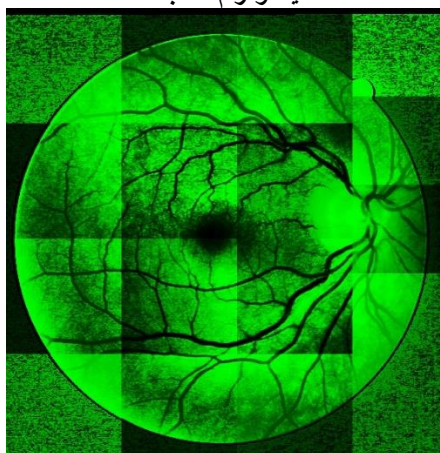
تصویر 43-تصویر eye8 پس از همسان سازی هیستوگرام-تک بانده



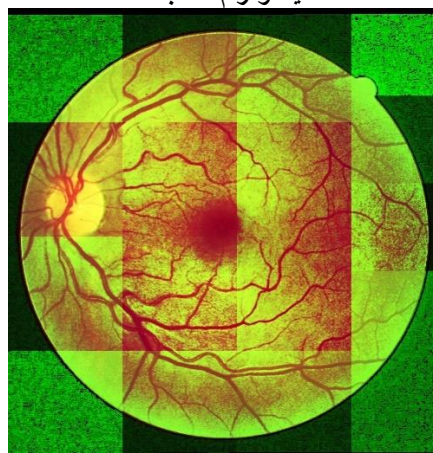
تصویر 50-تصویر eye3 پس از همسان سازی محلی
هیستوگرام-سه بانده



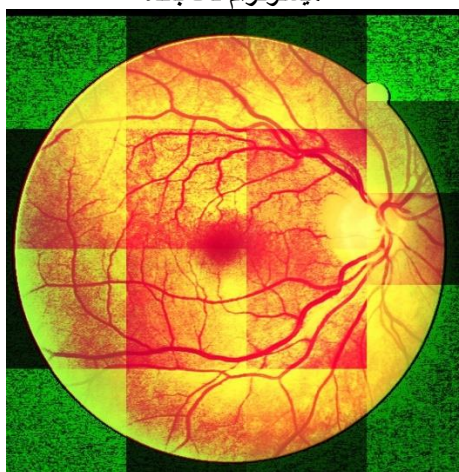
تصویر 47-تصویر eye1 پس از همسان سازی محلی
هیستوگرام-تک بانده



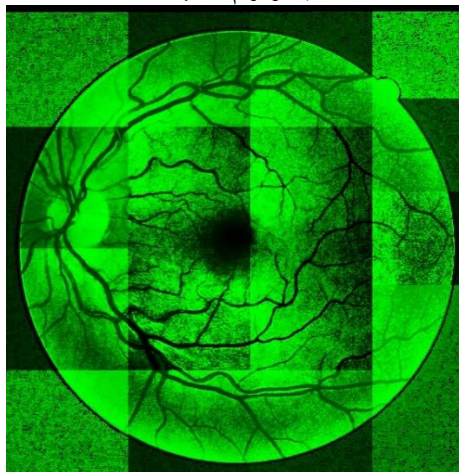
تصویر 51-تصویر eye3 پس از همسان سازی محلی
هیستوگرام-تک بانده



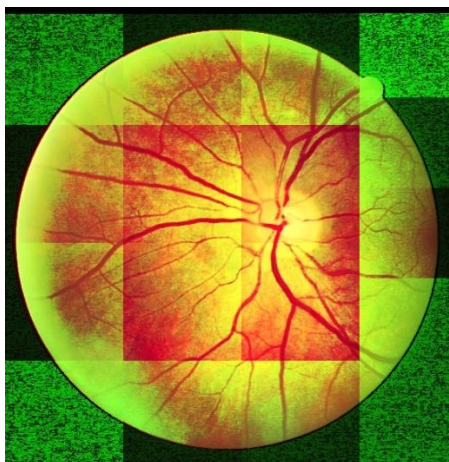
تصویر 48-تصویر eye2 پس از همسان سازی محلی
هیستوگرام-سه بانده



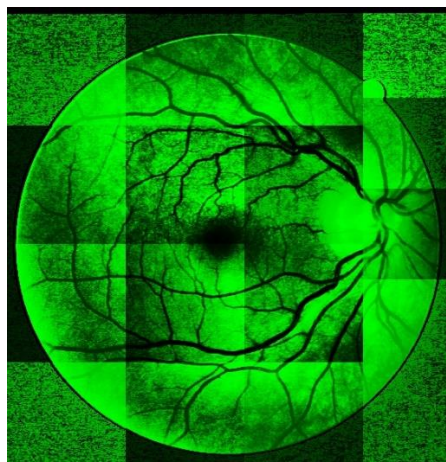
تصویر 52-تصویر eye4 پس از همسان سازی محلی
هیستوگرام-سه بانده



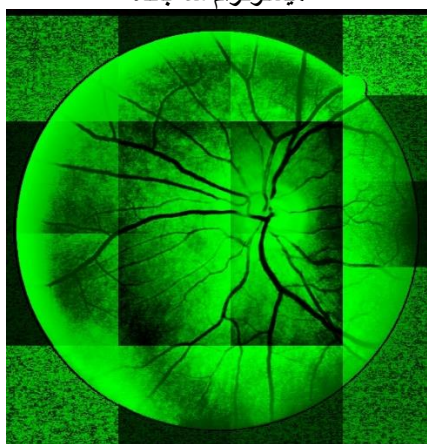
تصویر 49-تصویر eye2 پس از همسان سازی محلی
هیستوگرام-تک بانده



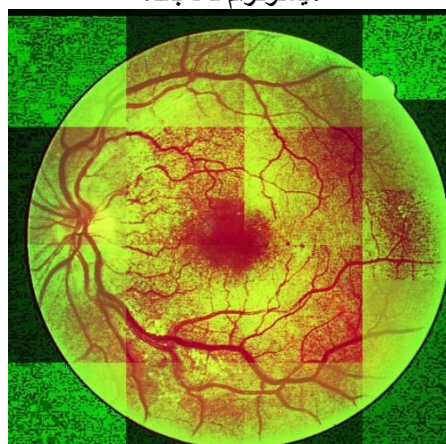
تصویر 56-تصویر eye6 پس از همسان سازی محلی
هیستوگرام-سه بانده



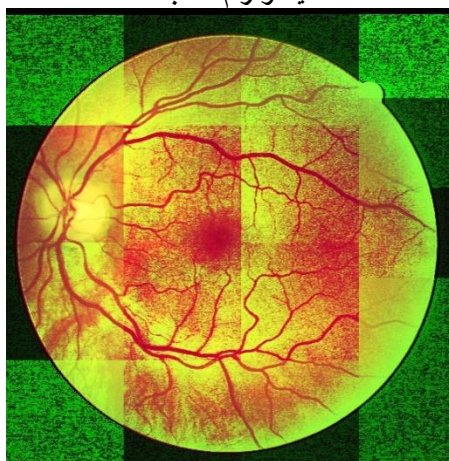
تصویر 53-تصویر eye4 پس از همسان سازی محلی
هیستوگرام-تک بانده



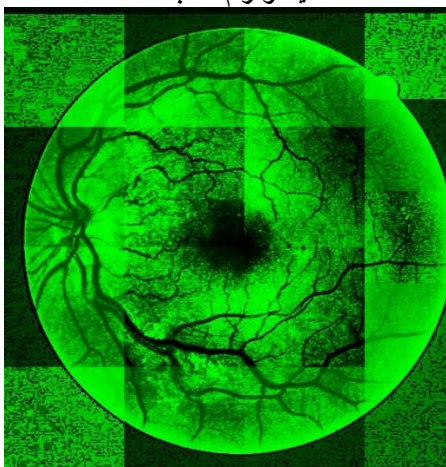
تصویر 57-تصویر eye6 پس از همسان سازی محلی
هیستوگرام-تک بانده



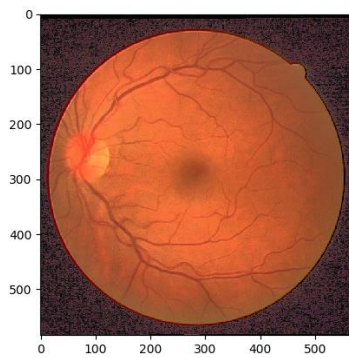
تصویر 54-تصویر eye5 پس از همسان سازی محلی
هیستوگرام-سه بانده



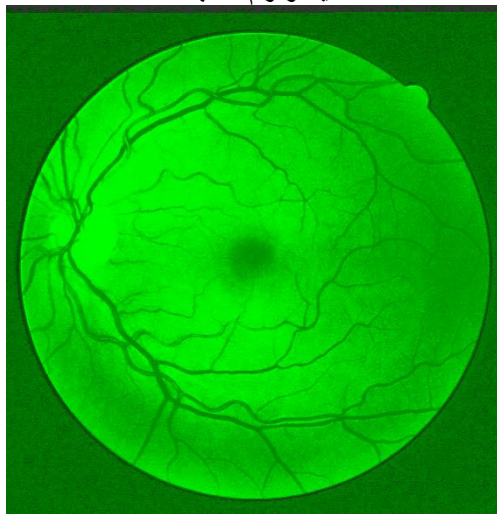
تصویر 58-تصویر eye7 پس از همسان سازی محلی
هیستوگرام-سه بانده



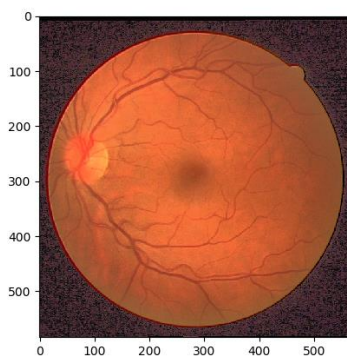
تصویر 55-تصویر eye5 پس از همسان سازی محلی
هیستوگرام-تک بانده



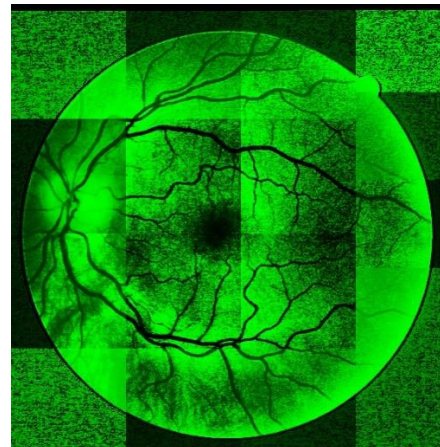
تصویر 62--تصویر eye1- پس از همسان سازی پویای هیستوگرام-سه بانده



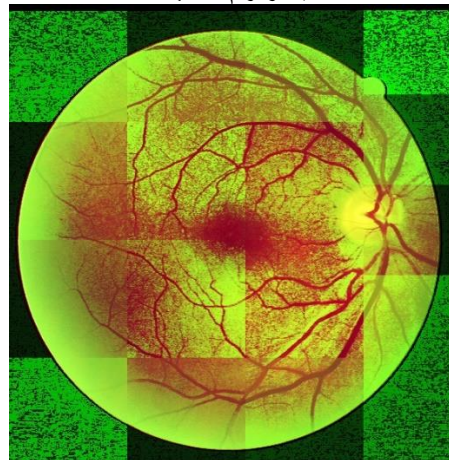
تصویر 63-تصویر eye1- پس از همسان سازی پویای هیستوگرام-تک بانده



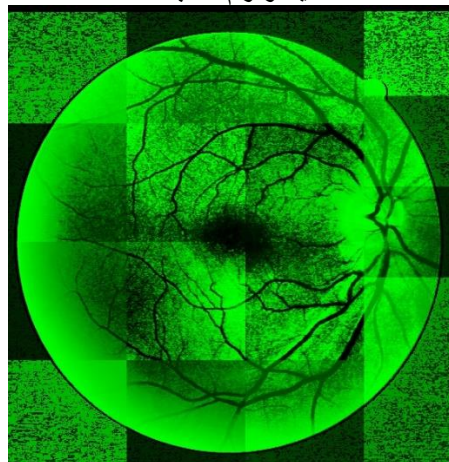
تصویر 64تصویر eye2- پس از همسان سازی پویای هیستوگرام-سه بانده



تصویر 59-تصویر eye7 پس از همسان سازی محلی هیستوگرام-تک بانده

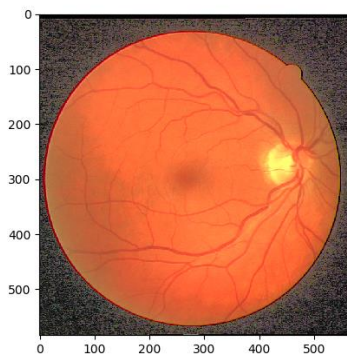


تصویر 60-تصویر eye8 پس از همسان سازی محلی هیستوگرام-سه بانده



تصویر 61-تصویر eye8 پس از همسان سازی محلی هیستوگرام-تک بانده

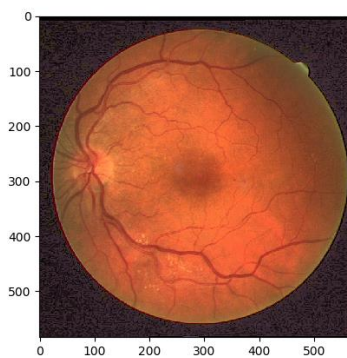
• همسان سازی پویای هیستوگرام



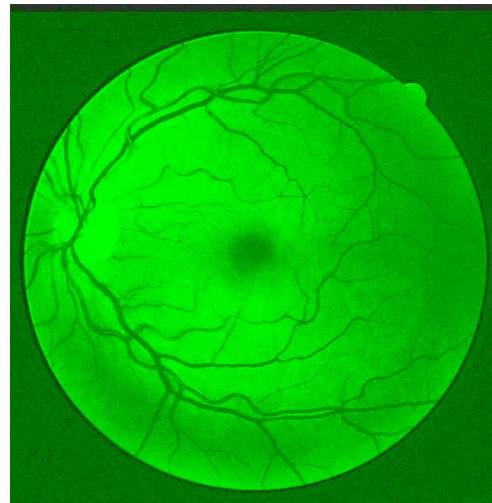
تصویر 68 تصویر eye4- پس از همسان سازی پویای هیستوگرام-سه بانده



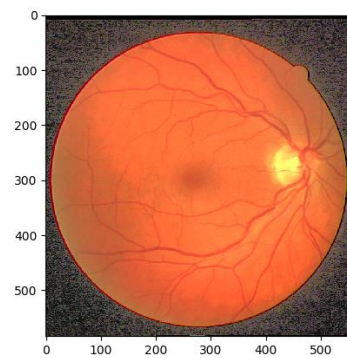
تصویر 69 تصویر eye4- پس از همسان سازی پویای هیستوگرام-تک بانده



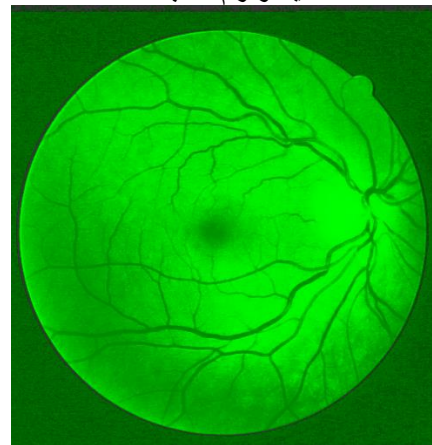
تصویر 70 تصویر eye5- پس از همسان سازی پویای هیستوگرام-سه بانده



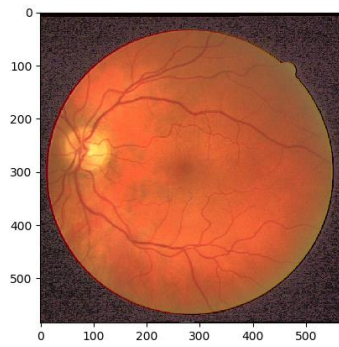
تصویر 65 تصویر eye2- پس از همسان سازی پویای هیستوگرام-تک بانده



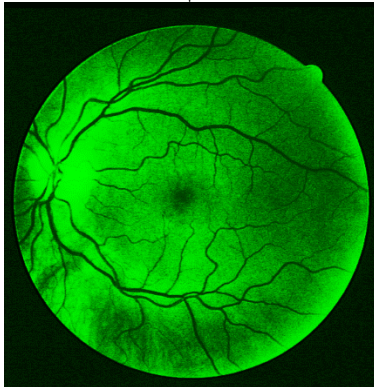
تصویر 66 تصویر eye3- پس از همسان سازی پویای هیستوگرام-سه بانده



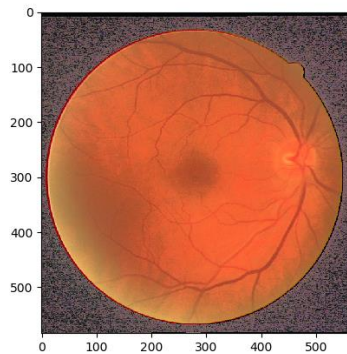
تصویر 67 تصویر eye3- پس از همسان سازی پویای هیستوگرام-تک بانده



تصویر 74 تصویر eye7- پس از همسان سازی پویای هیستوگرام-سه بانده



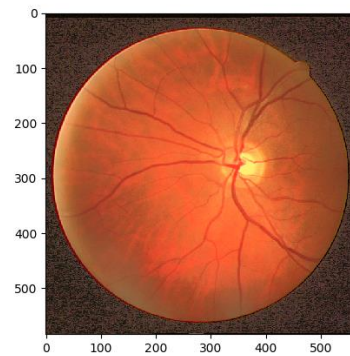
تصویر 75 تصویر eye7- پس از همسان سازی پویای هیستوگرام-تک بانده



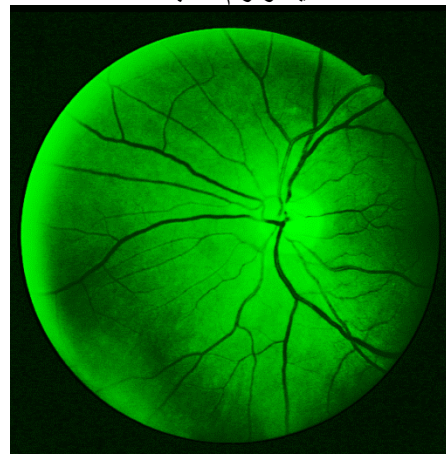
تصویر 76 تصویر eye8- پس از همسان سازی پویای هیستوگرام-سه بانده



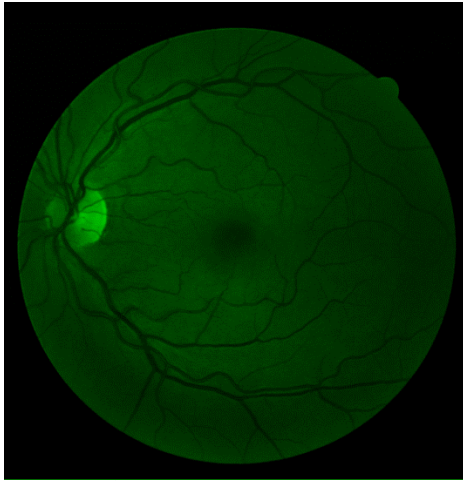
تصویر 71 تصویر eye5- پس از همسان سازی پویای هیستوگرام-تک بانده



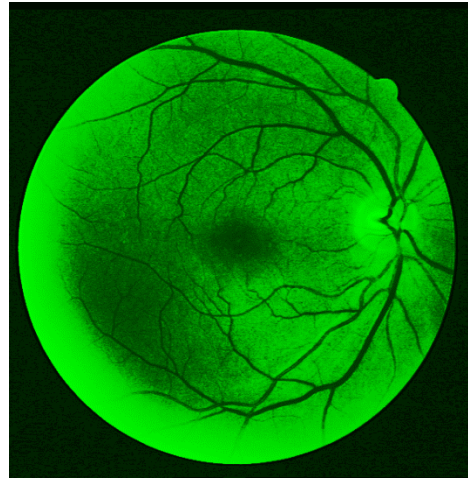
تصویر 72 تصویر eye6- پس از همسان سازی پویای هیستوگرام-سه بانده



تصویر 73 تصویر eye6- پس از همسان سازی پویای هیستوگرام-تک بانده



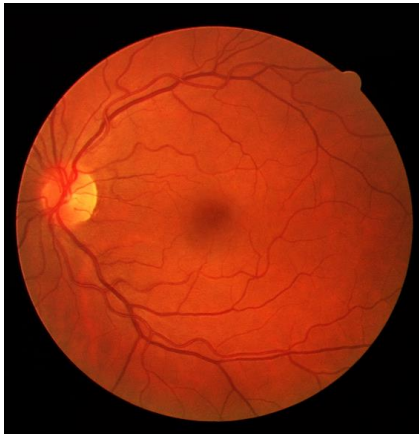
تصویر 79--تصویر eye1- پس از بهبود فازی-تک بانده



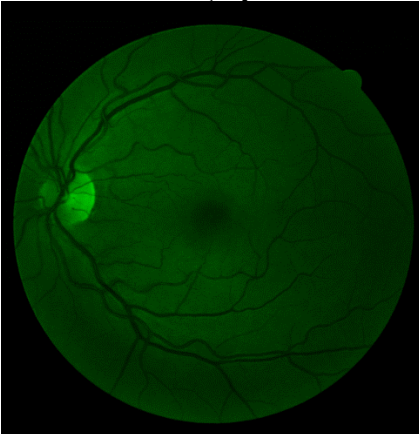
تصویر 77تصویر eye8- پس از همسان سازی پویای هیستوگرام-تک بانده

• بهبود کنتراست به شیوه ی فازی

نتایج حاصل از این الگوریتم تا حد زیادی به پارامتر های الگوریتم بستگی دارد. با افزایش گاما، میانه افزایش می یابد و روشنایی تصویر نیز افزایش خواهد یافت. با افزایش $ideal_variance$ ، واریانس نیز افزایش می یابد. در نتیجه پارامتر لاندا نیز بیشتر خواهد شد کنتراست افزایش خواهد یافت.



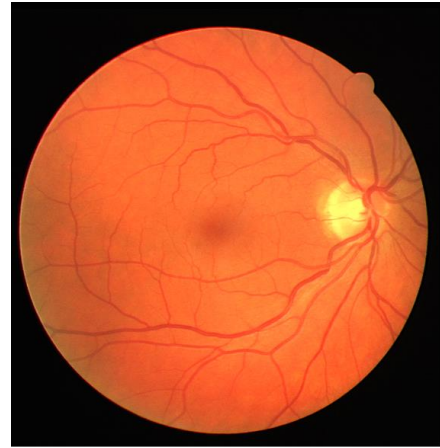
تصویر 80--تصویر eye2- پس از بهبود فازی-سه بانده



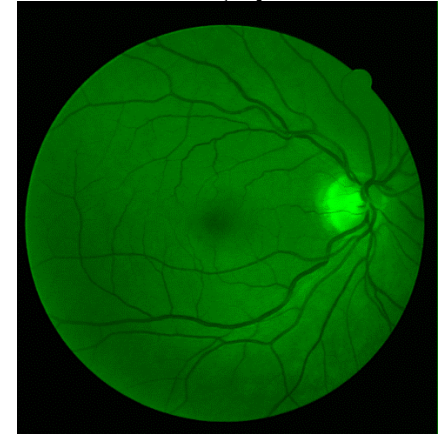
تصویر 81--تصویر eye2- پس از بهبود فازی-تک بانده



تصویر 78تصویر eye1- پس از بهبود فازی-سه بانده



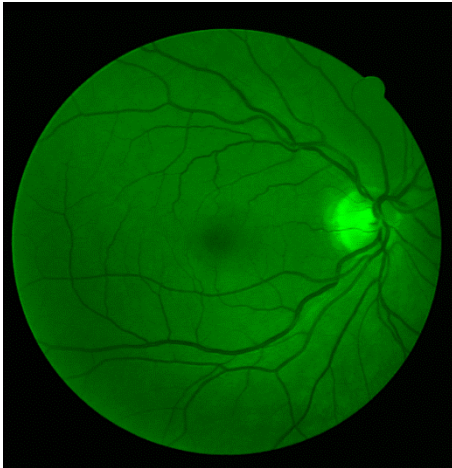
تصویر 82--تصویر eye3- پس از بهبود فازی-سه بانده



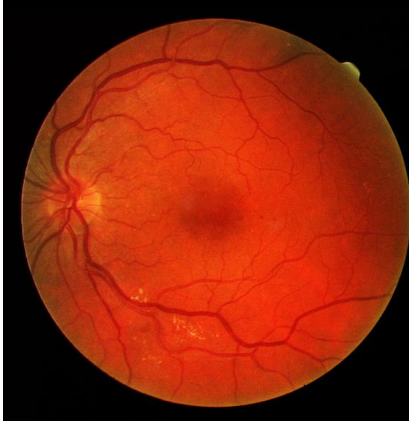
تصویر 83--تصویر eye3- پس از بهبود فازی-تک بانده



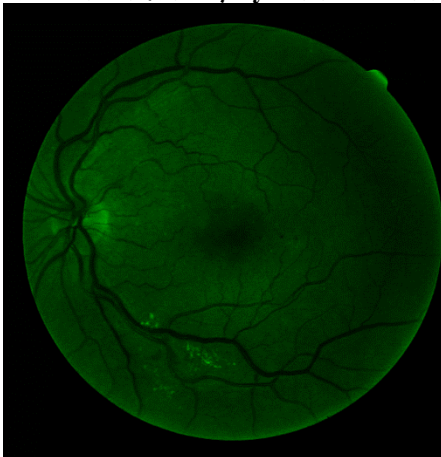
تصویر 84--تصویر eye4- پس از بهبود فازی-سه بانده



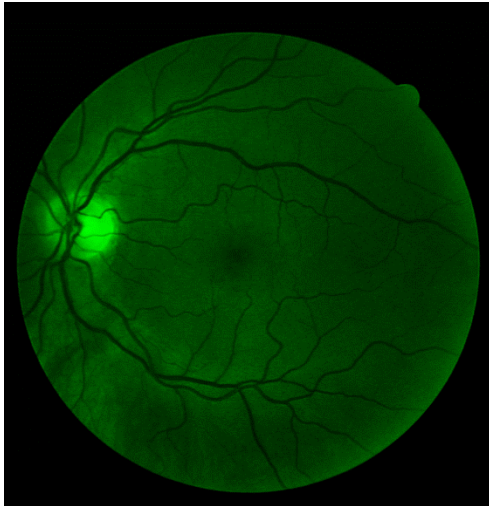
تصویر 85--تصویر eye4- پس از بهبود فازی-تک بانده



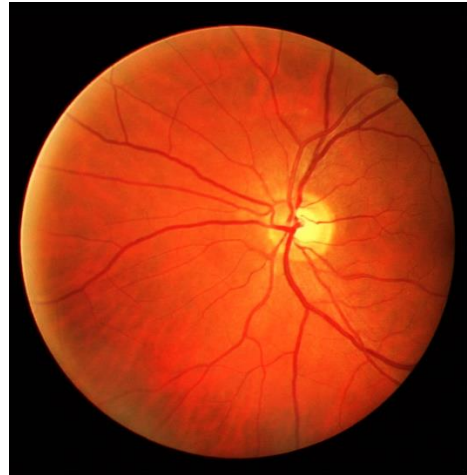
تصویر 86--تصویر eye5- پس از بهبود فازی-سه بانده



تصویر 87--تصویر eye5- پس از بهبود فازی-تک بانده



تصویر 91--تصویر eye8- پس از بهبود فازی-تک بانده
4- پیوست (کد برنامه)



تصویر 88--تصویر eye6- پس از بهبود فازی-سه بانده
وزن دار بودن پیکسل ها در محاسبه ی پنجره ی
فازی، در گوشه ی سمت راست و بالای شبکه
مشاهده می شود.

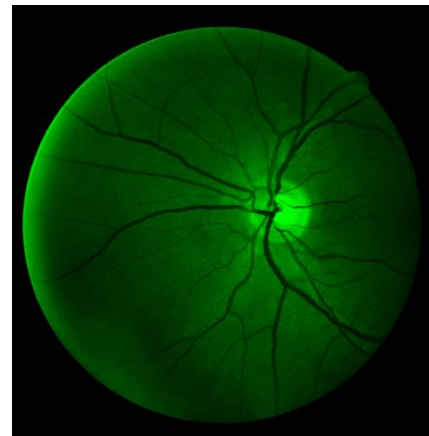
Histogram Equalization

```
from __future__ import division
from PIL import Image
import cv2
from pylab import *

def
enhance_image_using_histogram_equaliz
ation(img,name):
    myim = img
    myim=cv2.cvtColor(myim,
cv2.COLOR_RGB2BGR) #convert the color
system
    blue,g,red = cv2.split(myim)
#split channels
    # cv2.imshow('RGB', myim) #show
the original image
    I = g.flatten()

    # calculate pdf
    h = dict()
    for p in I:
        # if not h.has_key(p):
        if p not in h:
            h[p]=1
        else:
            h[p]+=1

    # figure(figsize=(18, 10))
    # subplot()
    # plot(list(h.keys()),
list(h.values()), '.')
    #
plt.savefig('results/figures/'+str(na
me)+'-pdf.png')
```



تصویر 89--تصویر eye6- پس از بهبود فازی-تک بانده



تصویر 90--تصویر eye7- پس از بهبود فازی-سه بانده

```

nal')
#
cv2.imshow('RGB',im_inhanced_3bands)
#
cv2.imwrite('results/'+str(name)+'-
image_balanced_histogram_equalization
_3bands.jpg',im_inhanced_3bands)
#
cv2.imwrite('results/'+str(name)+'-
image_balanced_histogram_equalization
_green.jpg',im_inhanced_green)
# cv2.imshow('RBG',myim)

# cv2.imshow('G-
RBG',im_inhanced_3scales)
# cv2.imshow('G-
RBG',im_original_3scales)
# figure(figsize=(48,16))
#
subplot(121),hist(im_inhanced.flatten
(),256),title('Equalized', size=48)
#
subplot(122),hist(I,256),title('Origina
l', size=48)
# # plt.show()
#
plt.savefig('results/figures/'+str(na
me)+'-equalized-histogram-
standard.png')

# waitforbuttonpress(0)
return
im_inhanced_3bands,im_inhanced_green

if __name__ == '__main__':

img=array(Image.open("images/eye8.bmp
")) #replace the argument with the
desired image to process
name="eye8"

enhance_image_using_histogram_equaliz
ation(img,name)

```

Local Histogram Equalization

```

from __future__ import division
from HistogramEqualization import
enhance_image_using_histogram_equaliz
ation
from PIL import Image
import cv2
from pylab import *

if __name__ == '__main__':
img =

```

```

h_sorted = sorted(h.items())

#calculate cdf
r=0
cdf = list()
for p in h_sorted:
    r += p[1]
    cdf.append([p[0], r])

#calculate equalized pdf
scale=255
cdf_min = cdf[0][1]
cdf_max = cdf[-1][1]
d = cdf_max - cdf_min

eq_v = list()
eq_v_toPlot=list()
for p in cdf:
    cdf_v = p[1]
    n = cdf_v - cdf_min
    h_v = round((n/d) * scale)
    eq_v.append([p[0], h_v])
    eq_v_toPlot.append(h_v)

hv = dict(eq_v) #dictionaries are
easy in searching and indexing

im_inhanced = g.copy()

n_rows = len(im_inhanced) # the
image height
row_width = len(im_inhanced[0])

for row in range(n_rows):
    for vi in range(row_width):
        v = im_inhanced[row][vi]
        im_inhanced[row][vi] =
hv[v]
I0 = np.zeros(myim.shape[:2],
np.uint8)
im_inhanced_3bands =
np.dstack([blue,im_inhanced,red])
im_inhanced_green =
np.dstack([I0,im_inhanced,I0])
# im_original_3scales =
np.dstack([I0,myim,I0])
#
im_inhanced_3scales=cv2.merge((red,im
_inhanced,blue))
# fig, (ax1, ax2) =
subplots(1,2,figsize=(16,16))
#
ax1.imshow(im_inhanced_3scales),ax1.s
et_title('Equalized')
#
ax2.imshow(myim),ax2.set_title('Origi

```



```

        cv2.imshow('RGB',
result_image_3bands)
        cv2.imshow('RGB',
result_image_1band)

start_height=start_height+window_size
start_width=0
window_size=myim.shape[1]-
start_height
    for i in range(start_height,
myim.shape[1], window_size):
        for j in range(start_width,
height_limit * window_size,
window_size):
            slice =
myim[start_width:start_width +
window_size,
start_height:start_height +
window_size, ]
            slice3bands,slice1band =
enhance_image_using_histogram_equaliz
ation(slice,name)

result_image_3bands[start_width:start_
width + window_size,
start_height:start_height +
window_size, ] = slice3bands

result_image_1band[start_width:start_
width + window_size,
start_height:start_height +
window_size, ] = slice1band
            start_width = start_width
+ window_size
            cv2.imshow('RGB',
result_image_3bands)
            cv2.imshow('RGB',
result_image_1band)
            print(start_width)
            slice =
myim[start_width:myim.shape[0],
start_height:start_height +
window_size, ]
            slice3bands,slice1band =
enhance_image_using_histogram_equaliz
ation(slice,name)

result_image_3bands[start_width:myim.
shape[0], start_height:start_height +
window_size, ] = slice3bands

result_image_1band[start_width:myim.s
hape[0], start_height:start_height +
window_size, ] = slice1band
            cv2.imshow('RGB',
result_image_3bands)
            cv2.imshow('RGB',
result_image_1band)

```

```

array(Image.open("images/eye8.bmp"))
name="eye8"
# myim = cv2.cvtColor(img,
cv2.COLOR_RGB2BGR)
myim=img
result_image_3bands=myim.copy()
result_image_1band=myim.copy()
window_size=150
start_height=0
start_width=0
end=window_size

width_limit=int(img.shape[0]/window_s
ize)

height_limit=int(img.shape[1]/window_
size)

    for i in
range(start_height,width_limit*window
_size,window_size):
        for j in
range(start_width,height_limit*window
_size,window_size):

            slice=myim[start_width:start_width+wi
ndow_size,start_height:start_height+w
indow_size,]
            slice3bands,
slice1band=enhance_image_using_histog
ram_equalization(slice,name)

result_image_3bands[start_width:start_
width+window_size,start_height:start_
height+window_size,]=slice3bands

result_image_1band[start_width:start_
width+window_size,start_height:start_
height+window_size,]=slice1band

start_width=start_width+window_size
print(start_width)
slice =
myim[start_width:myim.shape[0],
start_height:start_height +
window_size, ]
            slice3bands,slice1band =
enhance_image_using_histogram_equaliz
ation(slice,name)

result_image_3bands[start_width:myim.
shape[0], start_height:start_height +
window_size, ] = slice3bands

result_image_1band[start_width:myim.s
hape[0], start_height:start_height +
window_size, ] = slice1band

```

```

        dIv[dIv == 0] = 0.00001
        dI = np.sqrt(dIh ** 2 + dIv **
2).astype(np.uint32)
        di = dI[2:hei + 2, 2:wid + 2]

        dSh = scipy.signal.convolve2d(S,
np.rot90(fh, 2), mode='same')
        dSv = scipy.signal.convolve2d(S,
np.rot90(fv, 2), mode='same')
        dSh[dSh == 0] = 0.00001
        dSv[dSv == 0] = 0.00001
        dS = np.sqrt(dSh ** 2 + dSv **
2).astype(np.uint32)
        ds = dS[2:hei + 2, 2:wid + 2]

        h = H[2:hei + 2, 2:wid + 2]
        s = S[2:hei + 2, 2:wid + 2]
        i = I[2:hei + 2, 2:wid +
2].astype(np.uint8)

        Imean =
scipy.signal.convolve2d(I,
np.ones((5, 5)) / 25, mode='same')
        Smean =
scipy.signal.convolve2d(S,
np.ones((5, 5)) / 25, mode='same')

        Rho = np.zeros((hei + 4, wid +
4))
        for p in range(2, hei + 2):
            for q in range(2, wid + 2):
                tmpi = I[p - 2:p + 3, q -
2:q + 3]
                tmps = S[p - 2:p + 3, q -
2:q + 3]
                corre =
np.corrcoef(tmpi.flatten('F'),
tmps.flatten('F'))
                Rho[p, q] = corre[0, 1]

        rho = np.abs(Rho[2:hei + 2, 2:wid
+ 2])
        rho[np.isnan(rho)] = 0
        rd = (rho * ds).astype(np.uint32)
        Hist_I = np.zeros((256, 1))
        Hist_S = np.zeros((256, 1))

        for n in range(0, 255):
            temp = np.zeros(di.shape)
            temp[i == n] = di[i == n]
            Hist_I[n + 1] =
np.sum(temp.flatten('F'))
            temp = np.zeros(di.shape)
            temp[i == n] = rd[i == n]
            Hist_S[n + 1] =
np.sum(temp.flatten('F'))

        return Hist_I, Hist_S

```

```

cv2.imshow('RGB',result_image_3bands)

cv2.imshow('RGB',result_image_1band)

cv2.imwrite('results/'+str(name)+'-
local-histogram-equalization-
3bands.jpg',result_image_3bands)

cv2.imwrite('results/'+str(name)+'-
local-histogram-equalization-
1band.jpg',result_image_1band)

waitforbuttonpress(0)

```

Dynamic Histogram Equalization

```

from __future__ import division
import matplotlib.colors
import scipy, scipy.misc,
scipy.signal
from PIL import Image
import numpy as np
import matplotlib.pyplot as plt
import cv2
from pylab import *

def build_is_hist(img):
    hei = img.shape[0]
    wid = img.shape[1]
    ch = img.shape[2]
    Img = np.zeros((hei + 4, wid + 4,
ch))
    for i in range(ch):
        Img[:, :, i] = np.pad(img[:, :,
i], (2, 2), 'edge')
        hsv =
(matplotlib.colors.rgb_to_hsv(Img))
        hsv[:, :, 0] = hsv[:, :, 0] * 255
        hsv[:, :, 1] = hsv[:, :, 1] * 255
        hsv[hsv > 255] = 255
        hsv[hsv < 0] = 0
        hsv =
hsv.astype(np.uint8).astype(np.float64)

        fh = np.array([[-1.0, 0.0, 1.0],
[-2.0, 0.0, 2.0], [-1.0, 0.0, 1.0]])
        fv = fh.conj().T

        H = hsv[:, :, 0]
        S = hsv[:, :, 1]
        I = hsv[:, :, 2]

        dIh = scipy.signal.convolve2d(I,
np.rot90(fh, 2), mode='same')
        dIv = scipy.signal.convolve2d(I,
np.rot90(fv, 2), mode='same')
        dIh[dIh == 0] = 0.00001

```

```
plt.show()

if __name__ == '__main__':
    main()
```

Fuzzy Contrast Enhancement

```
import cv2 as cv
import numpy as np
import math
import time
from matplotlib import pyplot as plt
n = 3 # number of rows (windows on
columns)
m = 3 # number of columns (windows on
rows)
EPSILON = 0.00001
#GAMMA, IDEAL_VARIANCE 'maybe' have
to changed from image to another
GAMMA = 0.3 # Big GAMMA >> Big mean
>> More Brightness
IDEAL_VARIANCE = 0.95 #Big value >>
Big variance >> Big lamda >> more
contrast
img_name = 'test.jpg'
img = cv.imread(img_name)
#img = cv.resize(img, (200, 200))
layer = cv.cvtColor(img,
cv.COLOR_BGR2GRAY)
WIDTH = layer.shape[1]
HEIGHT = layer.shape[0]
x0, x1, y0, y1 = 0, WIDTH - 1, 0,
HEIGHT - 1

# split the image to windows
def phy(value): # phy: E --> R
    # if ((1+value)/((1-
value)+0.0001)) < 0:
    # print(value)
    return 0.5 * np.log((1 + value) /
((1 - value) + EPSILON))

def multiplication(value1, value2):
# ExE --> R
    return phy(value1) * phy(value2)

def norm(value):
    return abs(phy(value))

def scalar_multiplication(scalar,
value): # value in E ([-1,1])
    s = (1 + value) ** scalar
    z = (1 - value) ** scalar
    res = (s - z) / (s + z + EPSILON)
```

```
def dhe(img, alpha=0.5):
    hist_i, hist_s =
build_is_hist(img)
    hist_c = alpha * hist_s + (1 -
alpha) * hist_i
    hist_sum = np.sum(hist_c)
    hist_cum = hist_c.cumsum(axis=0)

    hsv =
matplotlib.colors.rgb_to_hsv(img)
    h = hsv[:, :, 0]
    s = hsv[:, :, 1]
    i = hsv[:, :, 2].astype(np.uint8)

    c = hist_cum / hist_sum
    s_r = (c * 255)
    i_s = np.zeros(i.shape)
    for n in range(0, 255):
        i_s[i == n] = s_r[n + 1] /
255.0
    i_s[i == 255] = 1
    hsi_o = np.stack((h, s, i_s),
axis=2)
    result =
matplotlib.colors.hsv_to_rgb(hsi_o)

    result = result * 255
    result[result > 255] = 255
    result[result < 0] = 0
    return result.astype(np.uint8)

def main():
    name="eye1"
    # img = cv2.imread(img_name)

img=array(Image.open("images/eye1.bmp
"))
    # myim = cv2.cvtColor(img,
cv2.COLOR_RGB2BGR)
    blue, g, red = cv2.split(img)
    I0 = np.zeros(img.shape[:2],
np.uint8)
    img_1band=cv2.merge((I0,g,I0))
    result = dhe(img)
    result_1band=dhe(img_1band)
    #
cv2.imwrite('results/'+str(name)+'-
dynamic-histogram-equalization-
3bands.png',result)

cv2.imwrite('results/'+str(name)+'-
dynamic-histogram-equalization-
1band.png',result_1band)
    plt.imshow(result)
    plt.savefig('results/' +
str(name) + '-dynamic-histogram-
equalization-3bands.png')
```

```

def mapping(img, source, dest):
    return (dest[1] - dest[0]) *
    ((img - source[0]) / (source[1] -
    source[0])) + dest[0]

e_layer_gray = mapping(layer, (0,
255), (-1, 1))

def cal_ps_ws(m, n, w, h, gamma):
    ps = np.zeros((m, n, w, h))
    for i in range(m):
        for j in range(n):
            for k in range(w):
                for l in range(h):
                    ps[i, j, k, l] =
p(i, j, k, l)

            ws = np.zeros((m, n, w, h))
            for i in range(m):
                for j in range(n):
                    ps_power_gamma =
np.power(ps[i, j], gamma)
                    for k in range(w):
                        for l in range(h):
                            ws[i, j, k, l] =
ps_power_gamma[k, l] / (np.sum(ps[:,
:, k, l])+EPSILON)
                    return ps, ws
print('Ps and Ws calculation is in
progress...')
start = time.time()
ps, ws = cal_ps_ws(m, n, WIDTH,
HEIGHT, GAMMA)
end = time.time()
print('Ps and Ws calculation has
completed successfully in '+str(end-
start)+' s')

def cal_means_variances_lamdass(w,
e_layer):
    means = np.zeros((m, n))
    variances = np.zeros((m, n))
    lamdass = np.zeros((m, n))
    taos = np.zeros((m, n))

    def window_card(w):
        return np.sum(w)

    def window_mean(w, i, j):
        mean = 0
        for k in range(HEIGHT):
            for l in range(WIDTH):
                mean = addition(mean,
scalar_multiplication(w[i, j, l, k],

```

```

return res

def addition(value1, value2): #
value1,value2 are in E ([-1,1])
    res = (value1 + value2) / (1 +
(value1 * value2) + EPSILON)
    return res

def subtract(value1, value2): #
value1,value2 are in E ([-1,1])
    res = (value1 - value2) / (1 -
(value1 * value2) + EPSILON)
    return res

def C(m, i):
    return math.factorial(m) /
((math.factorial(i) *
math.factorial(m - i)) + EPSILON)

def qx(i, x): # i: window index in
rows, x: number of current pixel on
x-axis
    if (x == WIDTH - 1):
        return 0
    return C(m, i) * (np.power((x -
x0) / (x1 - x), i) * np.power((x1 -
x) / (x1 - x0),
m)) # This is the seconf
implementation
    # return C(m,i)*((np.power(x-
x0,i) * np.power(x1-x,m-i)) /
(np.power(x1-x0,m)+EPSILON))

def qy(j, y):
    '''
    The second implementation for the
formula does not go into overflow.
    '''
    if (y == HEIGHT - 1):
        return 0
    return C(n, j) * (np.power((y -
y0) / (y1 - y), j) * np.power((y1 -
y) / (y1 - y0),
n)) # This is the seconf
implementation
    # return C(n,j)*((np.power((y-
y0),j) * np.power((y1-y),n-j))/
(np.power(y1-y0,n)+EPSILON))

def p(i, j, x, y):
    return qx(i, x) * qy(j, y)

```

```

        for j in range(n):
            win = window_enh(w, i, j,
e_layer)

            w1 = w[i, j].T.copy()
            for k in range(width):
                for l in
range(height):
                    new_image[l, k] =
addition(new_image[l, k],
scalar_multiplication(w1[l, k],
win[l, k]))
            return new_image
def one_layer_enhancement(e_layer):
    #card_image =
layer.shape[0]*layer.shape[1]
    new_E_image = image_enh(ws,
e_layer)
    res_image = mapping(new_E_image,
(-1, 1), (0, 255))
    res_image = np.round(res_image)
    res_image =
res_image.astype(np.uint8)
    return res_image

res_img =
one_layer_enhancement(e_layer_gray)

plt.subplot(1, 2, 1)
plt.imshow(img, cmap = 'gray')
plt.subplot(1, 2, 2)
plt.imshow(res_img, cmap = 'gray')
plt.title('Fuzzy Grayscale image
enhancement.')
plt.show()

#Constants
n = 2 # number of rows (windows)
m = 2 # number of colomns (windows)
GAMMA = 1
EPSILON = 0.00001
IDEAL_VARIANCE = 3

#Call image
img_name = 'images/eye8.bmp'
name="eye8"
img = cv.imread(img_name)
WIDTH = img.shape[1]
HEIGHT = img.shape[0]
x0, x1, y0, y1 = 0, WIDTH - 1, 0,
HEIGHT - 1

#Image fuzzification
layer_b, layer_g, layer_r =
cv.split(img)
e_layer_b, e_layer_g, e_layer_r =
mapping(layer_b, (0, 255), (-1, 1)),

```

```

e_layer[k, l]))
    mean /= window_card(w[i, j])
    return mean

def window_variance(w, i, j):
    variance = 0
    for k in range(HEIGHT):
        for l in range(WIDTH):
            variance += w[i, j,
l, k] *
np.power(norm(subtract(e_layer[k, l],
means[i, j])), 2)
    variance /= window_card(w[i,
j])
    return variance

def window_lamda(w, i, j):
    return
np.sqrt(IDEAL_VARIANCE) /
(np.sqrt(variances[i, j]) + EPSILON)

def window_tao(w, i, j):
    return window_mean(w, i, j)

for i in range(m):
    for j in range(n):
        means[i, j] =
window_mean(ws, i, j)
        variances[i, j] =
window_variance(ws, i, j)
        lamdas[i, j] =
window_lamda(ws, i, j)
        taos = means.copy()

    return means, variances, lamdas,
taos

print('means, variances, lamdas and
taos calculation is in progress...')
start = time.time()
means, variances, lamdas, taos =
cal_means_variances_lamdas(ws,
e_layer_gray)
end = time.time()
print('means, variances, lamdas and
taos calculation is finished in ' +
str(end - start) + ' s')
def window_enh(w, i, j, e_layer):
    return
scalar_multiplication(lamdas[i, j],
subtract(e_layer, taos[i, j]))

def image_enh(w, e_layer):
    new_image =
np.zeros(e_layer.shape)
    width = e_layer.shape[1]
    height = e_layer.shape[0]
    for i in range(m):

```

```

mapping(layer_g, (0, 255), (-1, 1)),
mapping(layer_r, (0, 255), (-1, 1))
e_layer_rgb =
scalar_multiplication(1/3,
addition(addition(e_layer_b,
e_layer_g), e_layer_r)) #Mean of the
three layers

#Cal Ps, Ws
print("calculate ps and ws for color
image")
ps, ws = cal_ps_ws(m, n, WIDTH,
HEIGHT, GAMMA)

#Cal means, variances, lamdas, taos
print("calculate
means,variance,lamdas,taos for color
image")
means, variances, lamdas, taos =
cal_means_variances_lamdas(ws,
e_layer_rgb)

#Layers enhacement
print("enhancing bands")
res_r =
one_layer_enhacement(e_layer_r)
res_g =
one_layer_enhacement(e_layer_g)
res_b =
one_layer_enhacement(e_layer_b)
I0 = np.zeros(img.shape[:2],
np.uint8)
res_img_3bands = cv.merge([res_b,
res_g, res_r])
res_img_1band = cv.merge([I0, res_g,
I0])

# print("plotting results")
# plt.subplot(1, 2, 1)
# plt.imshow(cv.cvtColor(img,
cv.COLOR_BGR2RGB))
# plt.subplot(1, 2, 2)
# plt.imshow(cv.cvtColor(res_img,
cv.COLOR_BGR2RGB))
# plt.title('Fuzzy RGB image
enhacement.')
# plt.show()
cv.imwrite('results/'+name+'-fuzzy-
3band.png',res_img_3bands)
cv.imwrite('results/'+name+'-fuzzy-
1band.png',res_img_1band)

```